



УДК 577.182.54'17 : 615.277.3

© 1992 г. Л. С. Поваров, Н. П. Потапова, Е. В. Бакина,  
М. Н. Преображенская, Б. В. Розинов\*СИНТЕЗ И СВОЙСТВА 3'-N-( $\beta$ -D-ГЛЮКОПИРАНОЗИЛ)ТИОКАРБАМОИЛДАУНОРУБИЦИНА

Институт по изысканию новых антибиотиков РАМН, Москва;

\* Институт биоорганической химии им. М. М. Шемякина РАН, Москва

В результате взаимодействия даунорубицина с 2,3,4,6-тетра-O-ацетил- $\beta$ -D-глюкопиранозилизотиоцианатом получен 3'-N-(2,3,4,6-тетра-O-ацетил- $\beta$ -D-глюкопиранозил)тиокарбамоилдаунорубицин, щелочной гидролиз которого привел к 3'-N-( $\beta$ -D-глюкопиранозил)тиокарбамоилдаунорубицину. При его восстановлении КВН<sub>4</sub> наряду с 13-дигидропроизводным образовалось соединение, в котором помимо восстановления 13-CO-группы произошла циклизация 4'-OH-группы даунозамина и остатка глюкозилтиомочевины в аминооксазолиновый фрагмент. Аналогичным образом при восстановлении фенилтиокарбамоилдаунорубицина КВН<sub>4</sub> были получены соответствующее 13-дигидропроизводное и производное, содержащее фениламинооксазолиновый цикл. Изучена цитостатическая и противоопухолевая активность новых производных даунорубицина.

Некоторые производные антрациклиновых антибиотиков ряда даунорубицина, содержащие еще один углеводный остаток, присоединенный к колычу даунозамина, являются высокоцитотоксичными соединениями [1, 2]. Представлялось интересным ввести в молекулу даунорубицина остаток глюкозы не непосредственно к 4'-OH-группе, а через 3'-тиокарбамоильный фрагмент. В настоящей работе для такой модификации молекулы даунорубицина (I) мы использовали 2,3,4,6-тетра-O-ацетил- $\beta$ -D-глюкопиранозилизотиоцианат (II) [3].

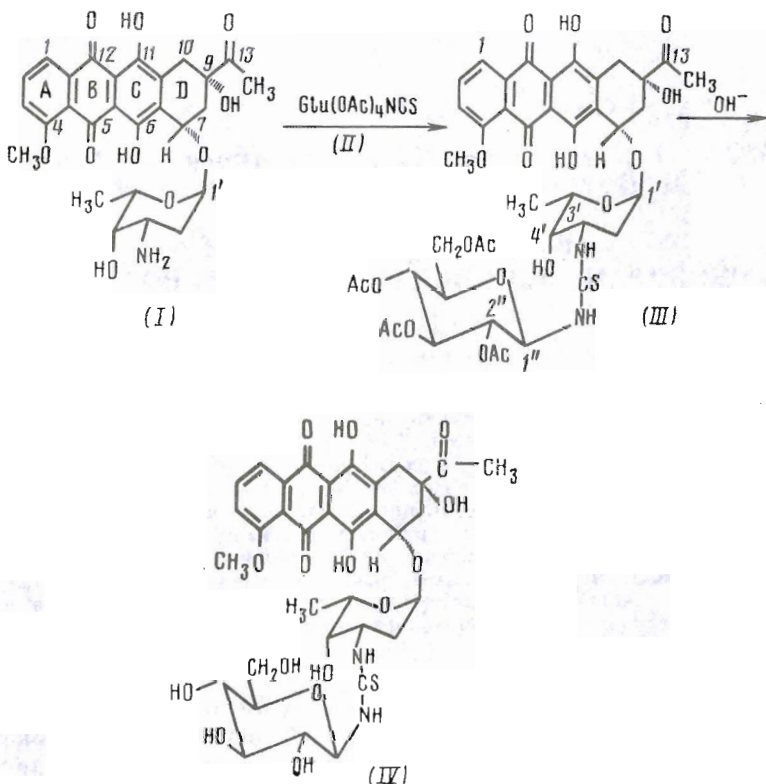
Ранее при взаимодействии даунорубицина (I) с алкил- или арилизотиоцианатами нами были получены 3'-N-алкил(арил)тиокарбамоильные производные; после S-метилирования эти соединения под действием основных агентов легко претерпевают внутримолекулярную циклизацию с участием 4'-OH-группы и образуют 2-алкил(арил)аминодаунорубицино(3',4'-d)оксазолины [4]. Было показано, что эти соединения подавляют развитие опухолевых клеток в более высоких концентрациях, чем исходный даунорубицин (I).

При взаимодействии соединений (I) и (II) в условиях, описанных ранее для фенилизотиоцианата, нами был получен 3'-N-(2,3,4,6-тетра-O-ацетил- $\beta$ -D-глюкопиранозил)тиокарбамоилдаунорубицин (III), который при дезацетилировании под действием Na<sub>2</sub>CO<sub>3</sub> в водно-ацетоновом растворе превращен в 3'-N-(глюкопиранозил)тиокарбамоилдаунорубицин (IV) (схема 1). Следует отметить, что О-дезацетилирование соединения (III) удалось осуществить в аномально мягких условиях.

Известно, что 13-дигидропроизводные даунорубицина, содержащие фрагмент 9-SНОНCH<sub>3</sub>, по сравнению с исходным антибиотиком обладают большей растворимостью в воде и достаточно выраженной, хотя и несколько уменьшенной [5, 6], противоопухолевой активностью.

Восстановление соединения (III) КВН<sub>4</sub> привело к двум производным, которые были разделены колоночной хроматографией; одно из них — соответствующий карбинол (V), второй продукт реакции содержит помимо

Схема 1



восстановленной 13-CO-группы измененный фрагмент даунозамина и представляет собой 2-( $\beta$ -D-глюкопиранозил)амино-(13-дигидродаунорубицино(3',4'- $\beta$ )оксазолин (VI) (схема 2). Те же соединения образуются при восстановлении соединения (IV).

Поскольку образование аминооксазолинов из арил(алкил)тиокарбамильных производных 2-гидроксиалкиламинов под действием щелочных или восстанавливающих агентов ранее не наблюдалось, мы изучили эту реакцию на примере 3'-N-фенилтиокарбамоилдаунорубицина (VII). Это производное мы рассматривали как модельное, ибо поскольку из-за отсутствия второго углеродного остатка расшифровка спектров ЯМР продуктов превращения соединения (VII) существенно упрощается. При восстановлении производного (VII) КВН<sub>2</sub> была получена смесь соединений (VIII) и (IX), которые также разделили хроматографией на колонке. Соединение (VIII) содержит восстановленную 13-CO-группу и представляет собой соответствующий карбинол. Соединение (IX) является производным карбина, содержащим фрагмент 2-фениламинодаунозамино(3',4'- $\beta$ )оксазолина.

Строение соединений (III)–(VI), (VIII) и (IX) было установлено методами ЯМР- и масс-спектрометрии. Каждое из соединений (V), (VI), (VIII) и (IX) представляет собой смесь эпимерных по 13-C карбинолов, разделить которые не удалось.

В табл. 1 приведены характеристики тех сигналов, которые использовались для установления строения исследуемых соединений. Поскольку <sup>1</sup>H-ЯМР-спектр антрахиноновой части агликона (колец А, В и С) при всех модификациях даунорубицина остается практически неизменным, эти сиг-

Таблица I

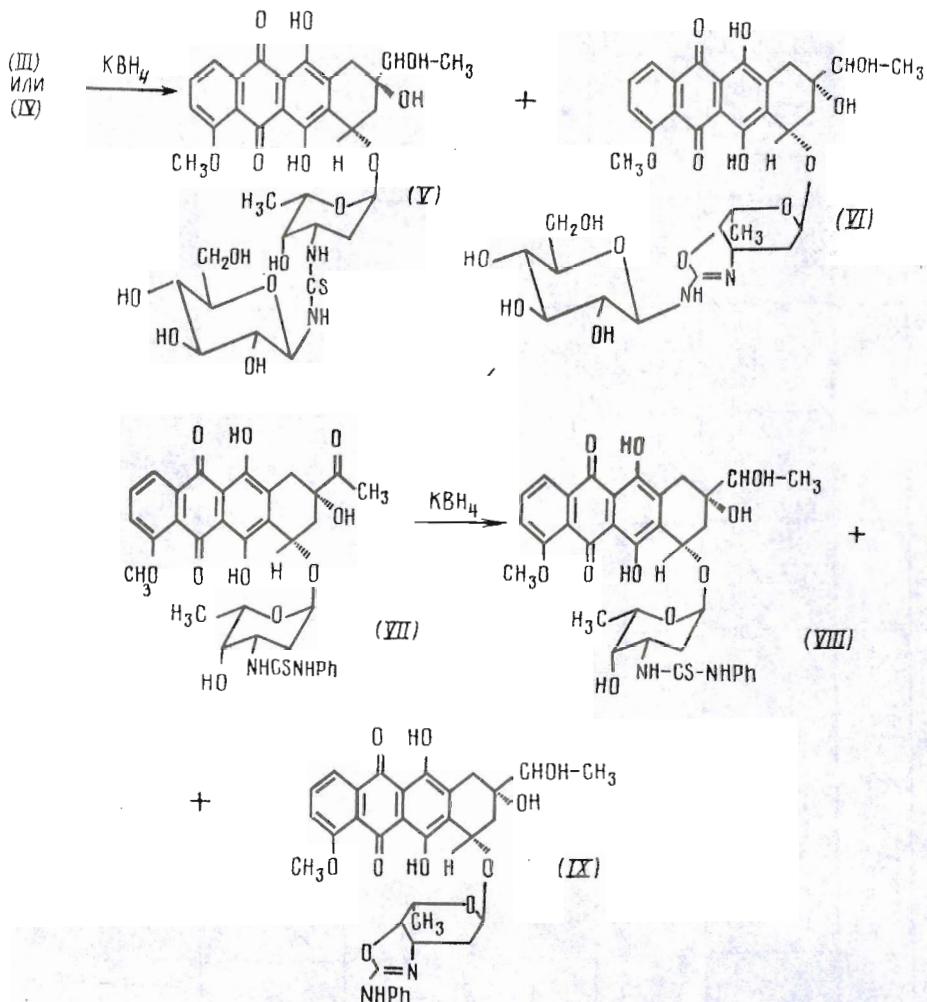
Параметры спектров  $^1\text{H-NMR}$  соединений (III) – (IX) в DMSO- $d_6$  при 80°С [δ, м.д. ( $J$ , Гц)]

Соединение	7-Н	8-Н <sub>2</sub> *	10-Нα	10-Нβ	13-Н*	14-CH <sub>3</sub>	1'-Н	3'-Н	4'-Н	3'-NH	4'-NH	1''-NH	1''-NE	1''-H	О.А.с.
(III)	5,04 дл (4,9; 4,9)	1,99 2,24 (18,2)	2,92 д (18,2)	3,05 д (18,2)	—	2,25 е	5,28 м	4,50 м	3,50 шс	7,60 шд (8,1)	8,00 шд (9,4)	5,74 дл (9,4; 9,4)	1,96 1,94 1,94 1,92	е, с, с, с	
(IV)	3,05 дл (4,8; 4,8)	2,20 —	2,94 д (18,1)	3,05 д (18,1)	—	2,25 е	5,28 м	4,53 м	3,54 шс	7,29 шд (8,3)	7,94 д (7,9)	5,03**			
(V)	5,09 м	2,30** 1,92** 2,10**	2,85 <sub>2*</sub> с 2,78 <sub>3*</sub> д	2,94 <sub>2*</sub> с 2,85 <sub>3*</sub> д	3,54 —	1,18 д (6,4)	5,31 м	4,52 м	3,54 шс	7,29 шд (8,6)	7,79 шд (7,8)	5,02 шд (7,9; 7,9)			
(VI)	5,10 м	1,92** 2,37** 2,17**	2,72 <sub>2*</sub> д (18,1) 2,80 <sub>3*</sub> с	2,91 <sub>2*</sub> д (18,1)	3,54 —	1,18 д (6,4)	5,29 м	4,30 м	4,50 шс (8,8)			4,45 д (9,6)			
(VII)	5,10 м	1,94 <sub>2*</sub> 2,32 <sub>2*</sub> 2,12 <sub>3*</sub>	2,78 <sub>2*</sub> д (18,0) 2,86 <sub>3*</sub> с	2,97 <sub>2*</sub> д (18,0) 2,86 <sub>3*</sub> с	3,55 —	1,18 д (6,2)	5,31 м	4,58 м	3,58 шс	7,28 д					
(IX)	5,42 м	1,91 <sub>2*</sub> 2,19 <sub>2*</sub> 2,08 <sub>3*</sub>	2,75 <sub>2*</sub> д (18,0) 2,83 <sub>3*</sub> с	2,95 <sub>2*</sub> д (18,0) 2,83 <sub>3*</sub> с	3,53 —	1,18 д (6,3)	5,30 м	4,35 м	4,59 д (9,5)						

\* Сигналы плохо разрешены. \*\* Сигналы относятся к разным эпимерам по 13-С.

\*\* Сигнал перекрыт сигналом 7-Н.

Схема 2



налы не приводятся. В спектре соединения (III) имеются сигналы протонов агликона, даунозамина и тетраацетилглюкозильного остатка, который, судя по значениям КССВ  $J_{1^{\prime} \cdots 2^{\prime}}$ ,  $\text{пп}$  9,4 и  $J_{1^{\prime} \cdots 2^{\prime}}$  9,4 Гц, имеет  $\beta$ -D-конфигурацию и конформацию ' $C_1$ '. Существенный слабопольный сдвиг ( $\Delta$  1,5 м. д.) сигнала, отнесенного к 3'-Н даунозамина, по сравнению с соответствующим сигналом в исходном даунорубицине, а также появление сигнала амидного протона при 3'-С (7,60 м. д.) позволяют утверждать, что модифицирована 3'-аминогруппа даунозамина и соединение (III) представляет собой 3'-N-(2,3,4,6-тетра-O-ацетил- $\beta$ -D-глюкопиранозил)тиокарбамоил-даунорубицин.

Строение дезацетилированного соединения (IV) также подтверждается данными ИК-спектра (отсутствие поглощения  $\text{CH}_3\text{COO}$ -групп) и данным  $^1\text{H}$ -ЯМР (табл. 1).

Судя по данным спектров  $^1\text{H}$ -ЯМР, в которых имеется двойной набор сигналов протонов 8-Н и 10-Н колец D, каждое из соединений (V) и (VI) представляет собой смесь спиртов, энимерных по 13-C-атому; как и следовало ожидать, глюкопиранозильный остаток в этих соединениях остался неизмененным: сохранился сигнал аномерного протона при 1"-Н с константой  $J_{1^{\prime} \cdots 2^{\prime}}$ , свидетельствующей о  $\beta$ -конфигурации и конформации ' $C_1$ '.

Таблица 2

Параметры спектров  $^{13}\text{C}$ -ЯМР соединений (IV) – (VI), (VIII) и (IX)  
в DMSO- $d_6$  при  $80^\circ\text{C}$   
( $\delta$ , м. д.)

Соединение	$\delta'$ -C	$\delta'$ -C	$\delta''$ -C	-CS- или -OC=N
(IV)	99,73	49,43	83,48	182,48
(V)	99,69	49,36	83,40	182,38
	99,58			
(VI)	98,40	63,20	83,72	159,22
(VIII)	99,69	49,22		179,30
	99,58			
(IX)	98,89	62,98		156,34
	98,84			

Таблица 3

Основные пики в масс-спектре соединения (V)

$m/z$	$I, \%$	$m/z$	$I, \%$
753	2,0	399	10,0
752	4,0	385	2,0
751 ( $MH^{+*}$ )	20,0	384	4,0
415	1,0	383	20,0
414	2,0	353	20,0
413	6,0	352	30,0
401	2,0	351	100
400	4,0		

Таблица 4

Подавляющие эффекты даунорубицина и соединений (III) – (VI)  
на пролиферацию клеток лейкоза мышей L1210 и  
T-лимфобластного лейкоза человека (Molt-4F)  
( $IC_{50}$ , мКМ)

Соединение	Подавление клеточной пролиферации	
	L1210	Molt-4F
(I)	0,04	0,044
(III)	0,287	0,274
(IV)	0,320	0,313
(V)	24,5	16,6
(VI)	34,4	23,9

Сигналы фрагмента даунозамина в спектре соединения (VI) свидетельствуют о том, что замещены положения  $3'$  и  $4'$  этого фрагмента, а конформация даунозаминного цикла изменена по сравнению с природным антибиотиком. Она совпадает с конформацией остатка даунозамина в описанных ранее замещенных дауномицино( $3',4'-d$ )-оксазолинах [4]. Например, значение константы  $J_{3'}$  составляет 8,8 Гц, что характерно для бициклических производных.

ЯМР-спектры фенилтиокарбамоильных производных (VIII) и (IX) менее сложны, поскольку не содержат второго углеводного фрагмента. Как и соединение (VI), дигидропроизводное (VIII) является смесью эпимеров по 13-С: в спектре  $^1\text{H}$ -ЯМР имеется двойной набор сигналов протонов при 10-С- и 8-С-атомах кольца D; интересно, что, как и в случае соединений (V) и (VI), сигналы протонов при 14-С и 13-С не удвоены. Положения сигналов протонов даунозамина в спектрах соединений (V) и (VIII) практически совпадают.

При исследовании  $^1\text{H}$ -ЯМР-спектра соединения (IX) было обнаружено его существенное отличие от спектра дигидропроизводного (VIII) в области резонанса протонов даунозамина. Особенно заметно изменилось положение сигнала протона 4'. Слабопольный сдвиг на 0,98 м.д. коррелирует с образованием новой связи, а изменение КССВ свидетельствует об изменении конформации даунозамина. Небольшой сдвиг в сильное поле наблюдается для сигнала 3'-Н.

Важные для структурного анализа данные  $^{13}\text{C}$ -ЯМР-спектров соединений (IV)–(VI), (VIII) и (IX) представлены в табл. 2. Положение сигнала атома 1"-С сохраняется в соединениях (V) и (VI), что подтверждает устойчивость остатка глюкопиранозы в реакции восстановления. Для всех изученных соединений практически не изменяется химический сдвиг атома 1"-С. При образовании оксазолиновых производных (VI) и (IX) существенно изменяются химические сдвиги сигнала 3'-С и сигнала атома, включающегося в аминооксазолиновое кольцо.

Образование аминооксазолиновых производных (VI) и (IX) сопровождается и резким изменением значений  $[\alpha]_D$ : от +206 и +174° для соединений (V) и (VIII) до -104 и -126° для соединений (VI) и (IX) соответственно. Аналогичные эффекты наблюдались нами при внутримолекулярной циклизации изотиурониевых производных антрациклиновых антибиотиков [4].

Однако данные спектра ЯМР не давали информации о характере образовавшегося гетероцикла. Поскольку ранее была описана циклизация фосфорных и О-сульфопроизводных алкил(арил)тиокарбамоильных производных этаноламина и его аналогов, приводящая к алкил(арил)амино-тиазолинам [7–9], нельзя было исключить вероятность образования и производного аминотиазолина (X) при действии КВН<sub>3</sub> на соединение (III), причем строение соединения (X) соответствовало бы полученным данным ЯМР.

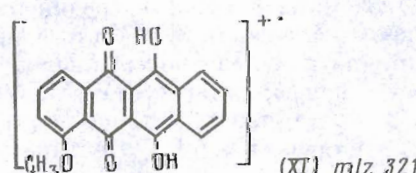
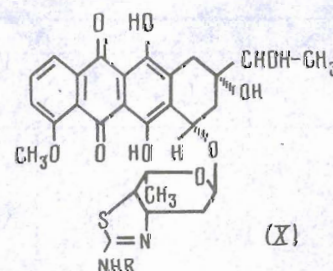
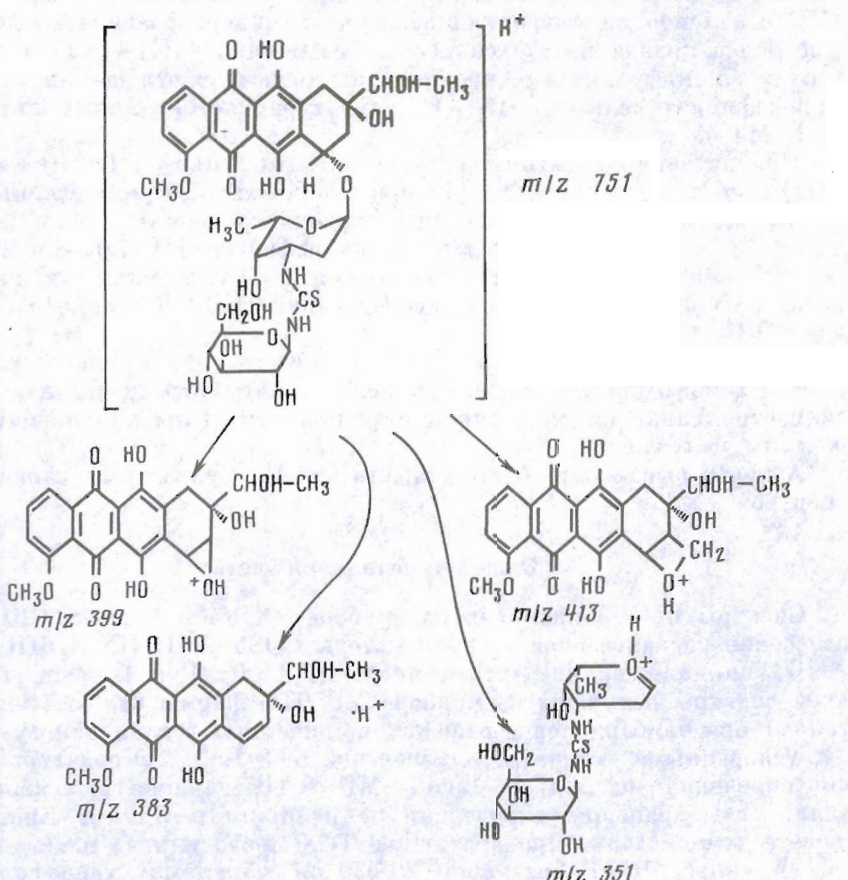


Схема 3



В масс-спектре соединения (V) присутствует интенсивный ион  $MH^+$  с  $m/z$  751. В табл. 3 приведены основные пики в масс-спектре этого соединения, а на схеме 3 показан распад его протонированного молекулярного иона. В масс-спектре соединения (VI) присутствует протонированный пик молекулярного иона  $MH^+$  с  $m/z$  717 и пик иона с  $m/z$  321. Первый из них соответствует предполагаемой формуле соединения (VI), а второй отвечает протонированному иону соединения (XI).

Таким образом, глюкозилтиокарбамильные или фенилтиокарбамильные производные дауномицина под действием КВН<sub>4</sub> претерпевают не только восстановление 13-CO-группы, но и циклизацию с участием соседней 4'-ОН-группы с образованием глюкозиламино- или (фенил)-аминооксазолинового цикла, конденсированного с даунозаминным фрагментом даунорубицина. Неясно, какую роль играет в этой реакции КВН<sub>4</sub>, однако такая циклизация не происходит при действии щелочных агентов (например, Na<sub>2</sub>CO<sub>3</sub>). Реакция такого типа для производных N-(β-гидроксиалкил)тиомочевины, по нашим сведениям, ранее не была описана.

В Институте медицинских исследований Рега Католического Университета Левен (Бельгия) проф. Э. Де Клерком и д-ром Я. Бальзарини была изучена способность соединений (III)–(IV) воздействовать на пролиферацию клеток лейкоза мышей L1210 и Т-лимфобластного лейкоза человека MoLt-4F даунорубицина. Оказалось (табл. 4), что цитотоксичность соединений (III) и (IV) на порядок ниже, чем цитотоксичность

исходного антибиотика. При восстановлении карбонильной группы значение  $IC_{50}$  возрастает еще на два порядка. Оксазолиновому производному (VI) с измененной конформацией даунозаминного фрагмента свойственна еще более низкая цитотоксичность. Соединения (III)–(VI) в субтоксических концентрациях не проявили активности в отношении вируса иммунодефицита человека ВИЧ-1 в культуре клеток Т-лимфоцитов человека МТ-4.

При изучении на мышах с перевиваемым лейкозом L1210 соединение (III) в дозах от 70 до 400 мг/кг при однократном внутрибрюшинном введении способствовало увеличению продолжительности жизни животных на 30–50%, препарат (IV) также был эффективен в широком интервале доз (35–400 мг/кг) и вызвал увеличение продолжительности жизни животных на 40–120% (данные исследований Н. Я. Юрченко и сотрудников ВОНЦ АМН СССР).

Авторы с благодарностью вспоминают покойного канд. хим. наук В. И. Капкова, предложившего им использовать тетраацетилглюкопиранозилизотиоцианат для модификации антибиотика и представившего первые образцы реагента.

Авторы выражают благодарность А. В. Сулиме за запись масс-спектров.

### Экспериментальная часть

Спектры ЯМР записывали на приборе VXR-400 (Varian, США). Для отнесения сигналов использовали методы COSY и НЕТКОР. ИК-спектры (KBr) снимали на спектрофотометре SP-1100 (Pye Unicam, Англия). Масс-спектры получены на приборе MS50TC фирмы Cratos (Великобритания) при бомбардировке веществ, помещенных в глицериновую матрицу, ускоренными атомами Xe с энергией 6–8 КэВ. Температуры плавления определяли на приборе Buchi SMP-20 (Швейцария) и не корректировали. Углы вращения определяли на поляриметре Perkin–Elmer 241 в кювете длиной 1 дм. Препартивную ТСХ проводили на пластинах Silufol (Kavalier, ЧСФР) размером 20×20 см в системах хлороформ – бензол – метanol, 10:1:2 (А) и хлороформ – метанол – вода, 13:6:1 (Б).

*3'-N-(2,3,4,6-Тетра-O-ацетил-β-D-глюкопиранозил)тиокарбамоилдаунорубицин (III).* К раствору 0,44 г (0,78 ммоль) гидрохлорида даунорубицина (I) в 50 мл абсолютного пиридина прибавляли 0,46 г (1,18 ммоль) 2,3,4,6-тетра-O-ацетил-β-D-глюкопиранозилизотиоцианата (II). Реакционную смесь выдерживали 24 ч при 20°С, после чего концентрировали в вакууме до минимального объема и продукт осаждали эфиrom. Выпавший осадок отфильтровывали, растворяли в хлороформе и промывали водой. В водный слой при этом переходили непрореагировавшие даунорубицин и изотиоцианат. Хлороформный раствор фильтровали через бумажный фильтр, концентрировали под вакуумом и продукт осаждали эфиrom. Получили 0,38 г (41,5%) тиокарбамата (III), т. пл. 185° С.  $[\alpha]_D^{29} +146^\circ$  (*c* 0,05, хлороформ). Найдено, %: С 54,49; Н 5,37; N 3,22.  $C_{42}H_{48}N_2SO_{19} \cdot 0,5 H_2O$ . Вычислено, %: С 54,49; Н 5,29; N 3,03. ИК (KBr),  $\text{cm}^{-1}$ : 1540–1550, 1585, 1620, 1720–1770. УФ (хлороформ),  $\lambda_{\text{max}}$ , нм ( $E_{1\text{cm}}^{1\%}$ ): 248 (244,8), 285 (64,0).

*3'-N-(β-D-Глюкопиранозил)тиокарбамоилдаунорубицин (IV).* К раствору 93 мг (0,1 ммоль) тиокарбамата (III) в 3,2 мл ацетона прибавляли 0,5 мл воды и 3,5 мл 0,2 н. раствора  $Na_2CO_3$ . Через 3 сут перемешивания при 20° С в реакционную смесь прибавляли 10 мл воды и экстрагировали смесь хлороформ – метанол, 4:1. Объединенный органический слой упаривали в вакууме досуха с добавлением бутанола. Сухой осадок очищали с помощью препартивной ТСХ. Получали 58 мг (76%) соеди-

нения (IV), т. пл. 208° С,  $[\alpha]_D^{20} +208^\circ$  (с 0,05, метанол). Найдено, %: С 53,17; Н 5,56; N 3,58.  $C_{34}H_{40}N_2SO_{15}\cdot H_2O$ . Вычислено, %: С 53,26; Н 5,48; N 3,65. ИК (KBr), см<sup>-1</sup>: 3400–3500, 1720, 1620, 1585, 1550. УФ (метанол),  $\lambda_{\text{max}}$ , нм ( $E_{1\text{cm}}^{1\%}$ ): 212 (441,7), 232 (513,9), 248 (466,7), 285 (122,2).

(13RS)-3'-N-( $\beta$ -D-Глюкопиранозил)тиокарбамоил - 13-дигидродаунорубицин (V) и 2-( $\beta$ -D-Глюкопиранозил)амино-(13-(RS)-дигидродаунорубицино(3',4'-d))оксазолин (VI). а) К раствору 220 мг (0,29 ммоль) соединения (IV) в смеси 20 мл хлороформа, 20 мл метанола и 2,5 мл воды прибавляли 45 мг КВН<sub>4</sub> и смесь перемешивали 24 ч при 20° С. Полноту прохождения реакции контролировали ТСХ на силуфоле в системе Б. Через 24 ч в реакционной массе выявлены соединения (V) и (VI) с R<sub>f</sub> 0,58 и 0,23, а исходный карбамат (IV) с R<sub>f</sub> 0,65 не обнаружен. В реакционную смесь прибавляли 20 мл воды и 100 мл хлороформа. При этом в хлороформный слой переходили отщепившиеся агликоны, а в водный слой – соединения (V) и (VI). Водный слой отделяли, подкисляли 0,1 н. HCl до pH 8 и экстрагировали смесью хлороформ – метанол (4:1, 3× ×100 мл). Объединенный органический слой фильтровали через бумажный фильтр и упаривали в вакууме досуха. Получали 185 мг смеси соединений (V) и (VI), разделение которой осуществляли на колонке с кремниевой кислотой; карбинол (V) элюировали смесью хлороформ – бензол – метанол, 100:10:30, а оксазолин (VI) – той же смесью, но с соотношением 100:10:100.

Получили 48 мг (22%) карбинола (V) и 57 мг (26%) оксазолина (VI), а также промежуточную фракцию. Соединение (V) имеет т. пл. 180–182° С,  $[\alpha]_D^{20} +206^\circ$  (с 0,05, метанол). Найдено, %: N 3,62; S 4,65.  $C_{34}H_{42}N_2SO_{15}$ . Вычислено, %: N 3,73; S 4,26. ИК (KBr), см<sup>-1</sup>: 1620, 1585, 1550, отсутствует 1720. Соединение (VI) имеет т. пл. 188–190° С,  $[\alpha]_D^{20} -104^\circ$  (с 0,05, метанол). Найдено, %: N 3,68.  $C_{34}H_{40}N_2O_{15}$ . Вычислено, %: N 3,81. ИК (KBr), см<sup>-1</sup>: 1690 (C=N), 1620, 1585, 1550.

б) К раствору 520 мг (0,57 ммоль) тиокарбамата (III) в смеси 20 мл хлороформа, 20 мл метанола и 2,5 мл воды прибавляли 110 мг КВН<sub>4</sub> и смесь перемешивали 4 ч при 20° С. Реакционную смесь обрабатывали как описано выше и получали 290 мг смеси соединений (V) и (VI). При разделении на колонке с кремниевой кислотой из 120 мг смеси получали 35 мг карбинола (V) и 55 мг оксазолина (VI).

(13RS)-3'-N-(Фенилтиокарбамоил)-13 - дигидродаунорубицин (VIII) и 2-фениламино-(13-(RS)-дигидродаунорубицино(3',4'-d))оксазолин (IX). К раствору 200 мг (0,3 ммоль) 3'-N-фенилкарбамоилдаунорубицина (VII) в смеси 15 мл хлороформа и 15 мл метанола прибавляли 40 мг КВН<sub>4</sub> и смесь перемешивали 4 ч при 20° С. Реакционную смесь обрабатывали аналогично предыдущему опыту. Получили 146 мг смеси соединений (VIII) и (IX). После хроматографического разделения смеси получили 54 мг (27%) карбинола (VIII) и 36 мг (18%) оксазолина (IX). Соединение (VIII) имело т. пл. 172–174° С,  $[\alpha]_D^{20} +174^\circ$  (с 0,05, метанол), R<sub>f</sub> 0,40 (A). Найдено, %: С 61,21; Н 5,26; N 3,92; S 4,578.  $C_{34}H_{36}N_2SO_{10}$ . Вычислено, %: С 61,45; Н 5,42; N 4,22, S 4,82. ИК (KBr), см<sup>-1</sup>: 1530, 1500.

Соединение (IX) имело т. пл. 182–185° С,  $[\alpha]_D^{20} -126^\circ$  (с 0,05, метанол), R<sub>f</sub> 0,18 (A). Найдено, %: N 4,12.  $C_{34}H_{34}N_2O_{16}$ . Вычислено, %: N 4,44. ИК (KBr), см<sup>-1</sup>: 1700, 1620, 1585.

## СПИСОК ЛИТЕРАТУРЫ

1. Гольдберг Л. Е., Вергоградова Т. П., Филиппосьянц С. Т., Белова И. П., Степанова Э. С. // Антибиотики. 1976. Т. XXI. № 5. С. 416–422.
2. Шорин В. А., Бажанов В. С., Авербух Л. А. // Антибиотики. 1977. Т. XXX. № 1. С. 69–73.
3. Ogura H., Takahashi H. // Heterocycles. 1982. V. 17. № 1. P. 87–90.
4. Preobrazhenskaya M. N., Bakina E. V., Povarov L. S., Lazhko E. I., Aleksandrova L. G., Balzarini J., De Clercq E. // J. Antibiot. 1991. V. 44. № 2. P. 192–199.
5. Henry D. W. // Cancer Treatment Repts. 1979. V. 63. P. 845–849.
6. Dessimis E. N., Brenner D. E., Baer M. R., Hande K. R. // Cancer Res. 1988. V. 48. № 2. P. 503–506.
7. Cherbuliez E., Jindra H., Rabinowitz J. // Helv. chim. acta. 1966. V. 49. № 6. P. 1951–1955.
8. Cherbuliez E., Baehler B., Espejo O., Jaccard S., Jindra H., Rabinowitz J. // Helv. chim. acta. 1966. V. 49. № 7. P. 2408–2415.
9. Cherbuliez E., Moll H., Baehler B., Rabinowitz J. // Helv. chim. acta. 1967. V. 50. № 4. P. 1154–1158.

Поступила в редакцию  
3.1.1992

L. S. POVAROV, N. P. POTAPOVA, E. V. BAKINA, M. N. PREOBRAZHENSKAYA.  
B. V. ROZYNOV \*

### SYNTHESIS AND PROPERTIES OF 3'-N-( $\beta$ -D-GLUCOPYRANOSYL)THIOCARBAMOYLDUONORUBICIN

Institute of New Antibiotics, Russian Academy of Medical Sciences, Moscow;  
\* M. M. Shemyakin Institute of Bioorganic Chemistry, Russian Academy of Sciences, Moscow

Interaction of daunorubicin with 2,3,4,6-tetra-O-acetyl- $\beta$ -D-glucopyranosyl isothiocyanate resulted in obtaining 3'-N-(2,3,4,6-tetra-O-acetyl- $\beta$ -D-glucopyranosyl)thiocarbamoyldaunorubicin, which was deacetylated in alkaline medium to give 3'-N-( $\beta$ -D-glucopyranosyl)thiocarbamoyldaunorubicin. Its reduction with  $\text{KBH}_4$  gave 13-dihydroderivative and the compound, where not only reduction of 13-CO group occurred, but also the 2-glucopyranosylamino-oxazoline nucleus was formed with participation of 4'-OH group. Similarly by reduction of 3'-N-phenylthiocarbamoyldaunorubicin with  $\text{KBH}_4$  corresponding 13-dihydroderivative was obtained as well as the compound with phenylamino-oxazoline moiety, condensed with daunorubicin at 3'4' positions. Cytostatic and antitumor properties of novel antibiotic derivatives were investigated.